Калашников Александр Дмитриевич

МОЛЕКУЛЯРНО-ДИНАМИЧЕСКАЯ МОДЕЛЬ ОРТОРОМБИЧЕСКОГО КРИСТАЛЛА ПОЛИЭТИЛЕНА С РАЗВЕТВЛЕНИЯМИ В ЦЕПЯХ

02.00.06 - высокомолекулярные соединения

ΑΒΤΟΡΕΦΕΡΑΤ

диссертации на соискание ученой степени кандидата физико-математических наук

Москва — 2006 г.

Работа выполнена на кафедре физики полимеров факультета молекулярной и биологической физики Московского физико-технического института (государственного университета) и в лаборатории структуры полимеров и полимерных матриц Института химической физики имени Н Н Семенова РАН

Паучный руководитель

Доктор химических наук, профессор Э Ф. Олейник

Официальные оппоненты.

Член-корреспондент РАН, профессор А Н. Озерин Доктор физико-математических наук С А Патлажан

Ведущая организация:

Институт Пефтехимического синтеза им А В. Топчиева РАП

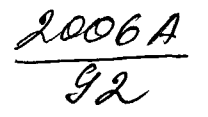
Защита диссертации состоится «26» «Инваре 2006г в // часов на заседании Диссертационного совета в Институте химической физики имени И.Н. Семенова РАП по адресу: 119991 Москва, ул. Косыгина, 4.

С диссертацией можно ознакомиться в библиотеке ИХФ РАП

Автореферат разослан «19» дека По 2005г

Ученый секретарь Диссертационного совета Кандидат физико-математических наук

Ладыгина Т А



ОБШАЯ ХАРАКТЕРИСТИКА РАБОТЫ.

Актуальность проблемы. В настоящее время производится огромное количество полимерных материалов на основе полиэтилена и других полиолефинов Это, прежде всего, материалы на основе сополимеров этилена с различными мономерами: пропиленом, гептеном, гексеном и др Звенья сомономеров возмущают структуру кристаллитов и аморфной фазы ПЭ, и таким образом в тилот на многие макроскопические свойства сополимеров

Одной из важнейших структурных характеристик макромолекулы является ее регулярность, мера периодичности в геометрическом расположении мономерных звеньев вдоль оси цепи. Нарушения макроструктуры полимерного кристалла, возникающие в результате появления нерегулярностей в макромолекулах, во многих случаях удается изучать классическими методами рассеяния и дифракции Однако, рассеяние оказывается бессильным при анализе локальных дефектов, возникающих в кристалле вблизи нерегулярностей макромолекул, то есть структур, образующихся в микрообъемах образца в ближайшей окрестности нерегулярности Геометрия, энсргстика нарушений локальной структуры и динамика цепных фрагментов вблизи дефекта плохо поняты до сих пор Хотя современные методы ЯМР позволяют получить информацию о локальной динамике малых фрагментов макромолекул, в том числе содержащих структурные или химические дефекты, однако и они не дают достаточного представления о геометрии нарушений в упаковке ближайших к дефекту межмолекулярных соседей, особенностей движений сегментов макромолекул вблизи дефекта Поиск связи между структурными нарушениями полимерного блока на наноуровне, за счет появления развствлений в цепях, с макроскопическими свойствами материала является важной научной и прикладной задачей

Сегодня ссть методы, позволяющие получить информацию о дсталях локальной структуры различных перегулярных полимеров и сополимеров Это методы компьютерного моделирования В отличии от низкомолекулярных кристаллов, лефскты в полимерных кристаллах изучены плохо Компьютерное моделирование позволяет ввести в кристалл различные дефекты Существует один вид дефектов, который можно моделировать, опираясь на данные реальных экспериментов, то есть сравнивая компьютерную модель с параметрами реальных полимерных кристаллов Это химические дефекты - дефекты, связанные с цепью химическими связями Простейшим примсром таких дефектов является разветвление -СН3. Поэтому компьютерные эксперименты, проведенные в настоящей работс, направлены на изучение нарушений кристалла, вызванные химическими дефектами в макромолекулах В настоящей работе такими дефектами были короткоцепные разветвления, замещающие один атом водорода в -СН2 группе полиэтиленовой цепи Мы надеялись, что введение разветвлений в построенные в компьютерном эксперименте исходно регулярные макромолекулы позволит проследить за изменениями структуры и динамики цепи с постепенно нарастающей перегулярностью в функции концентрации введенных дефектов, а также за нарушениями упаковки ближайших к дефекту соседних цепей кристалла.

Несмотря на большое количество опубликованных за последние 40 лет работ, без ответа остаются многие вопросы, связанные с нарушениями структуры полиэтилена и его сополимсров Какую роль играют разные типы развствлений цепей в формировании макроскопических свойств полимерного кристалла? Как разные свойства зависят от концентрации и конфигурации разветвлений различного типа? Все увеличивающееся в последние годы число публикаций, посвященных различным аспектам компью герного моделирования по-

РОС. НАЦИОНАЛЬНАЯ
БИБЛИОТЕКА
С.Петербург

99 1806 акт

лимеров, позволяет надеяться на то, что численные методы позволят получить ответы на эти вопросы.

Прежде всего, необходимо понять, как химические дефекты встраиваются в полимерный кристалл, что, и как, и на каких масштабах они наруппают кристалл. Именно этому и посвящена представляемая работа В литературе пока нет работ такого типа.

Цель работы. Целью является постросние компьютерной модели кристаллов орторомбического полиэтилена из цепей бескопечной длины с химическими дефектами типа разветвлений Анализ структурных нарушений, возникающих в упаковке кристалла с разветвлениями, и влияние этих дефектов на физические свойства кристалла Все эти данные получены методами компьютерного моделирования, а именю молекулярной динамики

Задачи исследования. В работе последовательно решались следующие задачи.

- Построение компьютерной модели совершенного кристалла полиэтилена. Исследование адекватности полученной модели
- 2 Построение компьютерной модели статистических сополимеров эгилена и пропилена путем введения в совершенный компьютерный кристалл полиэтилсна химических дефектов замещения типа СН₃ Исследование адекватности предложенного способа введения дефектов
- 3 Изучение влияния химического дефекта на структуру возущенного кристалла
- 4 Изучение впутренней динамики разветвлений в кристалле полиэтилена

Научная повизна и практическая значимость работы. Новыми научными результатами работы являются следующие:

- Построена модель совершенного орторомбического кристалла полиэгилсна из «бесконечных» цепей Макроскопические характеристики компьютерного кристалла совпали с данными, известными из литературы.
- Создан алгоритм введения в цепи полиэтилена химических дефектов замещения и построен кристалл с разветвлениями Компьютерный кристалл дал значения макроскопических параметров хорошо соответствующих экспериментальным данным, известным из литературы
- Исследованы сходство и различие в поведении орторомбического кристалла полиэтилена при повышении температуры и изотермической аморфизации посредством замещения атомов водорода в его цепях на метиловые группы.
- Проверена адекватность модели встраивания химического дефекта в цепной кристалл через образование 2g1 кинков
- Полученные результаты детально раскрывают и объясняют процессы, происходящие при химической аморфизации исходно совершенного орторомбического кристалла полиэтилена за счет химических разветвлений. Получены структурные характеристики как для совершенного кристалла, так и образцов, содержащих химические дефекты. Полученные результаты могут найти применение, например, при разработке.

новых материалов с заданными тепловыми, механическими свойствами и структурными характеристиками.

Апробация работы. Результаты, изложенные в диссертации, докладывались на 10 научных конференциях, по результатам докладов опубликованы тезисы в трудах конференций Основные результаты по теме диссертации опубликованы в 4 печатных работах Во всех написанных в соавторстве работах результаты, представленные в диссертации, получены лично соискателем

Структура и объем работы. Диссертация изложена на 130 страницах, состоит из введения, 7 глав и заключения. Первая глава — обзор литературы, вторая — описание модели. В последующих главах излагаются результаты молекулярно-динамического моделирования третья глава посвящена бездефектному кристаллу полиэтилена ($-\text{CH}_2$) $_{\infty}$, четвертая — статистическим сополимерам этилена и пропилена, пятая — одиночному дефекту в кристалле полиэтилена, шестая — взаимному влиянию двух близко расположенных дефектов, седьмая — внутренней динамике разветвления в кристалле Диссертация содержит 9 таблиц, 46 рисунков и библиографию из 125 пунктов

ОСНОВНОЕ СОДЕРЖАНИЕ РАБОТЫ.

В первой главе рассмотрены литературные данные по исследованию кристаллов полиэтилена и кристаллов, содержащих химические дефекты замещения. Приведены экспериментальные значения плотности, параметров кристаллической ячейки кристаллов бездефектного полиэтилена при различной температуре и для различных сополимеров этилена. Рассмотрена исрархия мстодов численного моделировация молскулярных систем. Описаны работы по методу молекулярной динамики для полимерных и низкомолекулярных систем. Кратко изложены основания метода молекулярной динамики, а также особенности его применения к цепным кристаллам.

Во второй главе изложено описание представленной модели В расчетную ячейку с периодическими граничными условиями помещали 48 циклически замкнутых цепей –(CH₂)₅₀– упакованных орторомбически Схема расчетной ячейки представлена на рис 1 На нем приведен общий вид расчетной ячейки (рис 1а), проекция кристалла на кристаллографическую плоскость (ab) (рис 16) и изображение одной цепи полиэтилена (рис 1в) Разветвления в цепи кристалла вводились путем замены выбранных атомов Н на объединенный атом, представлявший группу –СН₃

В методе молекулярной динамики предполагается, что система состоит из материальных точек, взаимодействующих между собой по законам классической механики Результатом работы программного комплекса, использованного при построении молекулярнодинамической модели, является численнос решение системы уравнений движения относительно радиус-векторов $\mathbf{r}_{\mathbf{r}}$ всех атомов системы

$$\begin{cases} \frac{dr_{i,\alpha}}{dt} = v_{i,\alpha} + \beta_{P,\alpha} \cdot (P_{\alpha} - P_{\alpha,ref}) \cdot r_{i,\alpha}, \\ m_i \frac{dv_{i,\alpha}}{dt} = -\frac{\partial U}{\partial r_{i,\alpha}} + \sum_k f_{ik,\alpha} \cdot \delta(t - t_{ik}) \end{cases}$$
(1)

для $i=1,\ldots,N$ (номер атома), $\alpha=\{x,y,z\}$, где $r_{i,\alpha},v_{i,\alpha}$ — составлящие радиус-вектора и скорости i-го атома, $\beta_{P,\alpha}$ — параметры баростата, P_{α} — компоненты давления, $P_{\alpha ref}$ —

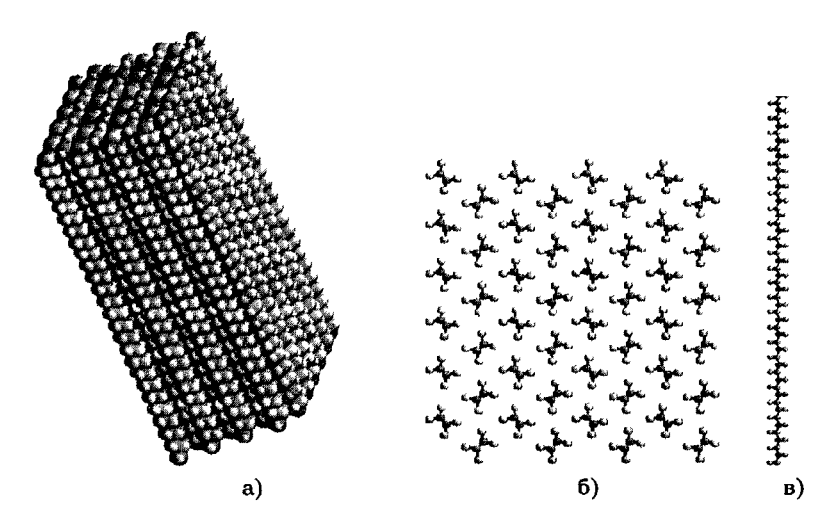


Рис. 1. Схема расчетной ячейки.

компоненты давления баростата, $f_{ik,\alpha}$ —стохастическая импульсная сила, t_{ik} —моменты столкновений с виртуальными частицами гермостата, $\delta(t)$ — дельта-функция Дирака, $U(\mathbf{r}_1,\mathbf{r}_2,\ldots,\mathbf{r}_N) = \sum_{\mathbf{t}} U_2(l_{\mathbf{t}}) + \sum_{\mathbf{t}} U_3(\theta_{\mathbf{t}}) + \sum_{\mathbf{t}} U_4(\phi_{\mathbf{t}}) + \sum_{\mathbf{t} < j} U_{MM}(|\mathbf{r}_{\mathbf{t}} - \mathbf{r}_j|)$ — потенциальная энергия системы.

 $U_2(L) = K_L (L - L_0)^2 -$ потенциал валентной связи

 $U_3(\theta) = K_{\theta}(\theta - \theta_0)^2$ — потенциал валентного угла.

$$U_4(\phi) = K_\phi(1+\cos3\phi)$$
 — потенциал торсионного угла $U_{MM}(r) = \left\{ egin{array}{ll} U_{LJ}(r) - U_{LJ}(R_{int}), & \mbox{при } r < R_{int}, \\ 0, & \mbox{при } r > R_{int} \end{array} \right.$, где

 $U_{I,I}(r) = 4\varepsilon \left((\sigma/r)^{12} - (\sigma/r)^6 \right)$ — потенциал межмолекулярного взаимодействия, также известный как потенциал Леннард-Джонса 6-12 Параметры потенциалов взяты из работы [1]

Для анализа локальных характеристик структуры компьютерных образцов были расчитаны объемы Вороного всех групп -СН2-, либо -СНСН3-. Для расчета объема Вороного применялся следующий алгоризм Сначала отбрасывали все боковые атомы и боковые группы в системе Далес расчетную ячейку разбивали на кубы с длиной стороны δ (обычпо δ =0,1Å) и, следовательно, объемом δ^{δ} Каждый куб относится к ближайшему от центра куба атому моделируемой системы. Количество кубов относящихся к данному атому моделируемой системы и даст объем Вороного этого атома.

В третьей главе даны результаты моделирования компьютерного совершенного кристалла полиэтилена при температуре $T = 200 \, \mathrm{K}$. В расчете получены следующие характеристики компьютерного кристалла

- Плотность 1.025 г/см^3 ;
- Коэффициент молскулярной упаковки 0,767;

- \bullet Кристаллографические параметры а -7,27Å; b -4,79Å; c -2,56Å:
- Коэффициенты теплового расширения вдоль осей кристалла а $-0.237\cdot 10^{-3}~{\rm K}^{-1}$, вдоль **b** $-0.053\cdot 10^{-3}~{\rm K}^{-1}$; вдоль **c** $-0.013\cdot 10^{-4}~{\rm K}^{-1}$.

Эти параметры хорошо согласуются с литературными данными [2]

Поведение компьютерного кристалла полиэтилена при росте температуры показано на рис. 2 Как видно, при температуре около $T=390{\rm K}$ происходит изменение коэффициентов теплового расширения, особенно сильно вдоль кристаллографической оси а (рис. 26). А это означает, что $390{\rm K}$ — это температура плавления компьютерного кристалла полиэтилена (эксперимент дает $420{\rm K}$ ($147^{\circ}{\rm C}$) [2]).

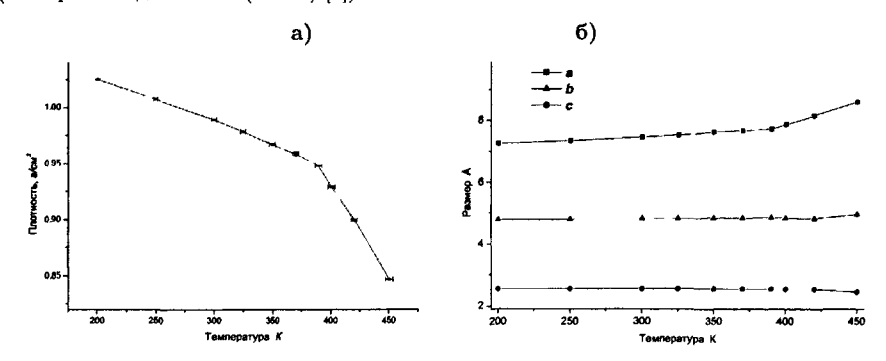


Рис. 2. Зависимости плотности (a) и кристаллографических параметров (б) компьютерного кристалла полиэтилена от температуры.

Влияние температуры на локальную структуру компьютерного полиэтилена показывают данные по величинам объемов Вороного каждой -CH₂ группы Па рис За приведены пекоторые характерные распределения по величине объемов Вороного при различных гемпературах. По оси абсцисс отложены величины объемов Вороного, а по оси ординат — количество групп с данным объемом. На рис Зб изображены зависимости среднего объема Вороного (пик распределения на рис За) и величины стандартного отклонения от среднего объема Вороного (полуширина распределения на рис За) от температуры. Средний объем Вороного -CH₂— группы совершенного компьютерного кристалла при температуре 200К равен 22,26ų, стандартное отклонение от среднего - 0,08ų. Эти цифры позволяют анализировать отклонения локальных объемов при введений разветвлений в кристалл Таким образом, получена соответстующая экспериментальным данным компьютерная модель кристалла полиэтилена, которая стала отправной точки для введения в кристалл разветвлений и анализа структуры

При введении разветвлений, однако, к одному скелетному атому –С– не присоединяли более одного метила, а также введен запрет на присоединение метилов к грем подряд скелетным атомам –С– Концентрация – $\mathrm{CH_3}$ равняется отношению количества – $\mathrm{CHCII_3}$ – в полученном сополимере к количеству – $\mathrm{CH_2}$ – в исходном полиэтилене

Адекватность предложенного способа введения разветвлений в кристалл полиэтилена проверена в четвертой главе путем получения компьютерных образцов со статистически распределенными, по описанным выше правилам, разветвлениями в цепи в широком

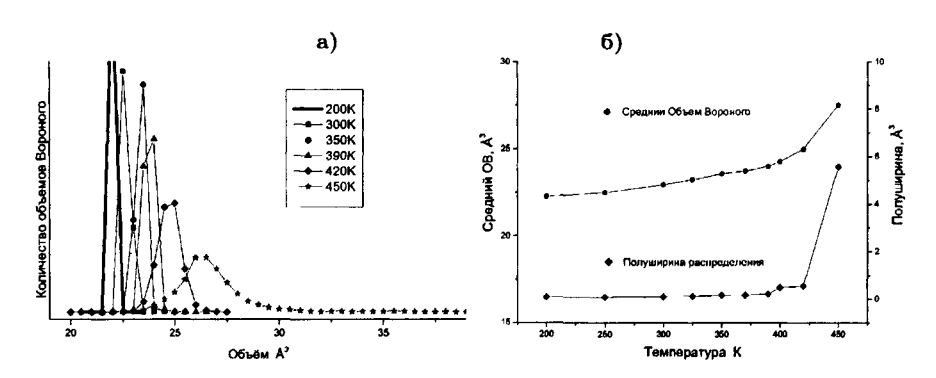


Рис. 3. (a) — Распределение объемов Вороного по величине при различных температурах (б) — Зависимости средней величины объема Вороного и величины стандартного отклонения от температуры

диапазоне концентраций вплоть до 40% –СН₃ При концентрации –СН₃ 50% возникает химическая структура цепи полипропилена.

На рис 4а показана зависимость плотности компьютерного кристалла $\Pi \ni c$ разветвлениями от концентрации $\mathrm{CH_3}$ Для сравнения на том же рисунке приведены литературные данные [3] (пунктирная лиция) по плотности сополимеров этилена и пропилсна разного состава. На рис 46 приведены зависимости кристаллографических параметров компьютерных образцов от концентрации $\mathrm{CH_3}$. До концентрации [$\mathrm{-CH_3}$] $\approx 10\%$ компьютерные образцы остаются кристаллическими, после этой концентрации происходит их аморфизация. Начальных наклон этих зависимостей так же соответствует литературным данным [2].

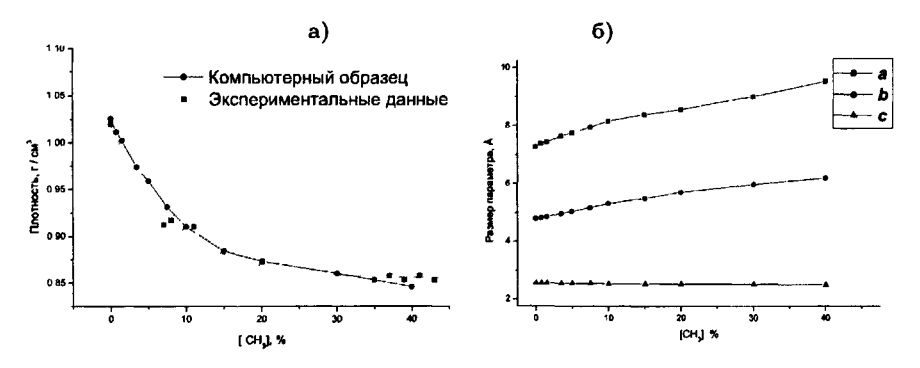


Рис. 4. Зависимость плотности (a) и кристаллографических параметров (б) компьютерного кристалла полиэтилена от концентрации разветвлений при $T=200\mathrm{K}$

Конформационная структура компьютерного полиэтилена с разветвлениями показана на рис 5a За конформационный дефект принято отклонение торсионного угла от ве-

личины 180°, соответствующего положению trans, на величину больше 60° Два gauche положения характеризуются величинами торсионных углов 60° и 300°. Мы уделили особое внимание появлению 2g1 кинков, то есть $g^{\pm}tg^{\pm}$, в системе В литературе существует модель [4], согласно которой встраивание развствлений -СН3 в кристалл идет только при образовании такого кинка Так как каждый 2g1 кинк состоит из двух конформационных дефектов, то кривая всех дефектов идет всегда выше кривой кинков, это видно из рис 5а Видно, что до $[-CH_3] \approx 5-10\%$ конформационные дефекты накапливаются в системс вместе с кинками, однако общее число кинков остается меньше количества разветвлений в расчетной ячейке А после аморфизации всего образца, которая, судя по данным рис. 46 и 5б, происходит при $[-CH_3] \approx 10\%$, кроме кинков появляются и другие конформационные дефекты. Но количество кинков оказывается значительно меньше числа развствлений в расчетной ячейке. Таким образом, нельзя судить о количестве разветвлений, встроившихся в кристалл IIЭ, по количеству $q^{\pm}tq^{\pm}$ конформаций в образце При концентрации разветвлений [-СН₃]>10% встраивание нового разветвления в кристалл необязательно порождает новый кинк-дефект, но может приводить к другим нарушениями конформации пепи

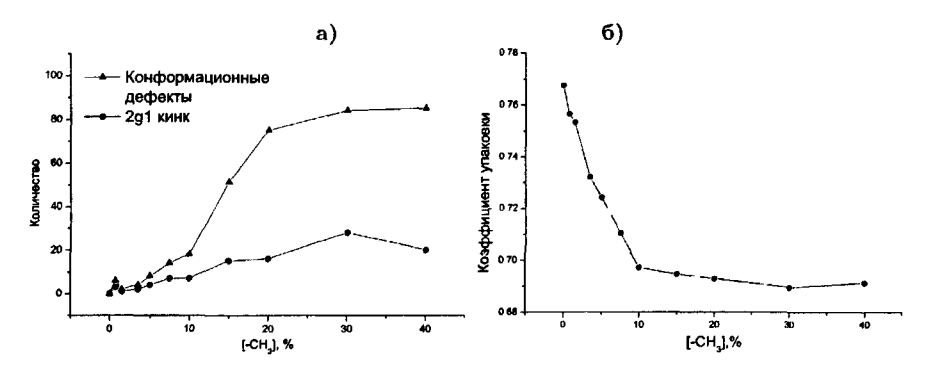


Рис. 5. Зависимость количества конформационных дефектов и 2g1 кинков $(g^{\pm}tg^{\pm})$ (a) и коэффициента молекулярной упаковки (б) от концентрации разветвлений.

Данные о локальной упаковке в компьютерных образцах полиэтилена с разветвлениями представлены на рис 6 Характерные распределения по величинам объемов Вороного при некоторых концентрациях – CH_3 в компьютерных образцах приведены на рис 6а Так же как и выше, по оси абсцисс отложена величина объема Вороного группы – CH_2 -, либо – CHCH_3 -, а по оси ординат — количество групп с объемом этой величины На рис 66 изображены зависимости среднего объема Вороного (пик распределения на рис. 6а) и величины стандартного отклонения от среднего объема Вороного (полуширина распределения на рис. 6а) от концентрации – CH_3 Из сравнения рис 3 и 6 отчетливо видно, что введение химических разветвлений возмущает кристалл сильнее, чем повышение температуры. Например, уже 5% разветвлений при $T=200\mathrm{K}$ дают чуть больший средний объем Вороного ($\sim 24\mathrm{Å}$), чем при $T=400\mathrm{K}$ в образце без разветвлений ($\sim 23\mathrm{Å}$)

Поскольку построенная модель демонстрирует хорошее соответствие с экспериментальными данными как для совершенного кристалла полиэтилена, так и для кристалла по-

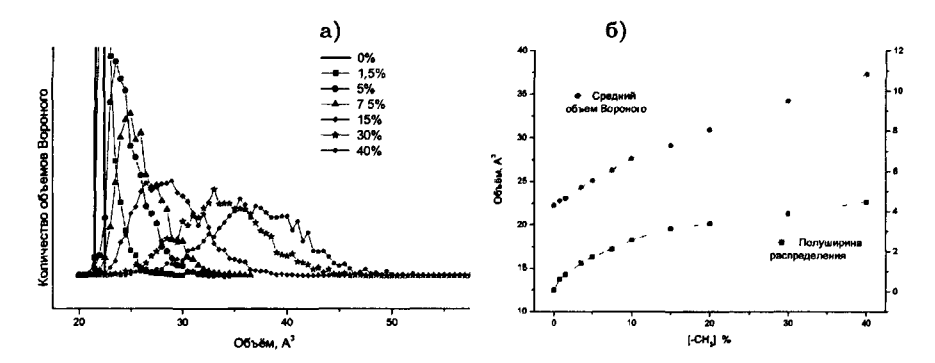


Рис. 6. (а) Распределение объемов Вороного по величине при различных концентрациях разветвлений (б) — Зависимости средней величины объема Вороного и величины стандартного отклонения от концентрации разветвлений

лиэтилена с разветвлениями, можно с ее помощью попытаться понять каким образом происходит встраивание одного разветвления в кристалл полиэтилсна

В пятой главе исследовано влияние одиночного разветвления на дефектность кристалла полиэтилена На рис 7 показана схема нарушения упаковки компьютерного кристалла полиэтилена одним разветвлением в направлении перпендикулярном осям цепей. Из рисунка видно, что атомы –С– существенно сместились со своих позиций в совершенном кристалле только в первой координациошой сферс вокруг разветвления Причем не все, а только те, что расположены «в направлении» разветвления Остальные атомы –С– смещаются незначительно.

Мы проанализировали распределения объемов Вороного вдоль цепи, к которой присоединен дефект, и в направлении поперек этой цепей. На рис 8а показаны величины объемов Вороного для каждого атома -C– в цепи полиэтилена, к которой присоединено развствление $25,3\text{Å}^3$ — объем Вороного атома -C с разветвлением, т.е. он на $\sim 3\text{Å}^3$ больше объема атома -C– в бездефектном кристалле. Этот объем, как и следовало ожидать, самый большой. Таким образом, можно сказать, что упаковка цепи в месте разветвления ухудшилась на 13,4% по сравнению с совершенным кристаллом полиэтилена. Как видно из того же рис 8а, нарушение упаковки систематически спадает в обе стороны вдоль цепи с удалением от точки вствления, при этом упаковка оказывается нарушеной у \sim 6-ти атомов. С в каждую сторону от разветвления. Большая протяженность разрыхления вдоль цепи обусловлена жесткостью цепей полиэтилена

Нарушения упаковки в направлении поперек цепи, как видно из рис 86, не столь обширные, как вдоль цепи. На этом рисунке черными квадратиками показаны атомы —С—, попавшие на плоскость, проходящую через разветвление перпендикулярно осям цепей Многоугольники представляют сечения многогранников Вороного этой плоскостью. Цифры над черными квадратиками — это объемы Вороного, они округлены до 0,05. Видно, что упаковка существенно ухудинается лишь в первой координационной сфере вокруг разветвления, а во 2-ой и 3-ей упаковка даже улучшается, хотя и незначительно. Улучшение упаковки происходит за счет конкуренции двух явлений. С одной стороны атом —С— "выбит" разветвлением (Ван-дер-Ваальсовским межмолекулярным взаимодействием) из

- О Положение атомов -С- бездефектного кристалла
- Положение атомов -С- кристалла с разветвлением
- Разветвление -СН,

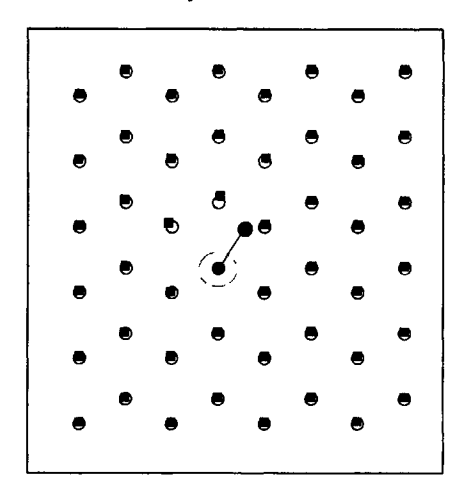


Рис. 7. Сечения компьютерного кристалла с химическим дефектом плоскостью, проходящий через скелетный атом -С, к которому присоединен химический дефект, перпендикулярно осям цепей, и компьютерного кристалла бездефектного полиэтилена такой же плоскостью. Оба сечения совмещены в точке, обведенной кругом

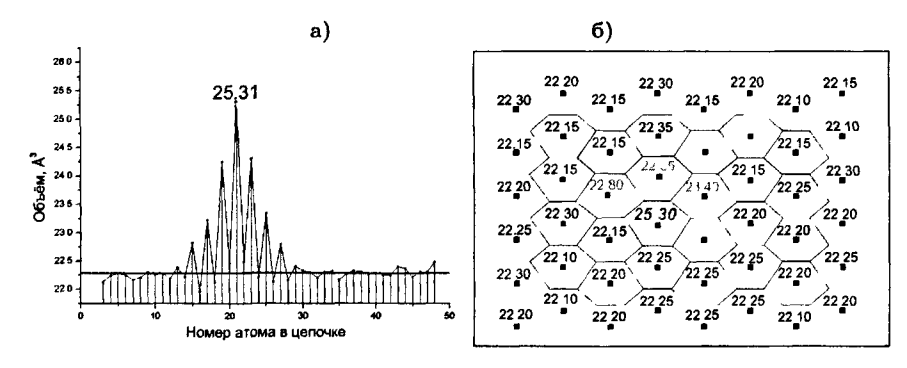


Рис. 8. Распределение объемов Вороного вдоль цепи (a) и в направлении поперек цепей (б) (см. пояснения в тексте).

своего положения в кристаллической решетке, а с другой — невозмущенные части цепи стремятся верпуть (за счет впутримолекулярного взаимодействия) атом обратно

Проведенный в шестой главе анализ нарушений упаковки под воздействием двух близко расположенных (т.е. на расстояниях не болсе 6-ти атомов. С. по цепи) разветвлений так же подтвердил приведенные выше наблюдения. Наибольшие возмущения упаковки всегда возникают вокруг атомов цепи, к которым присоединены разветвления. Налицо значительная делокализация упаковочных возмущений кристалла. Избыточный объем распределяется по множеству групп.—СН2— цепи. Возмущение "вдоль цепи" (6-7 атомов в каждую сторопу от точек вствления) гораздо более протяженное, чем "поперек цепи". Поперечные возмущения упаковки затрагивают, в основном, первую, меньше - вторую координационые сферы вокруг разветвления. При удалении разветвлений на семь и более атомов цепи друг от друга возмущения упаковки от них почти аддитивны, то есть общий избы гочный объем практически равен удвоснному объему от двух уединенных дефектов. Длина возмущенного сег мента цепи длиной 12-14 скелетных атомов диктуется, очевидно, изгибной жесткостью цепи полиэтилена.

Таким образом, в работе показано, что разветвление в кристалле полиэтилена оказывается очень плотпо упакованным, хотя и приводит к разрыхлению структуры кристалла в близкой к разветвлению окрестности. Нарушение упаковки асимметрично относительно плоскости, проходящей через ось цепи перпендикулярно плоскости *trans* зигзага макромолекулы ПЭ.

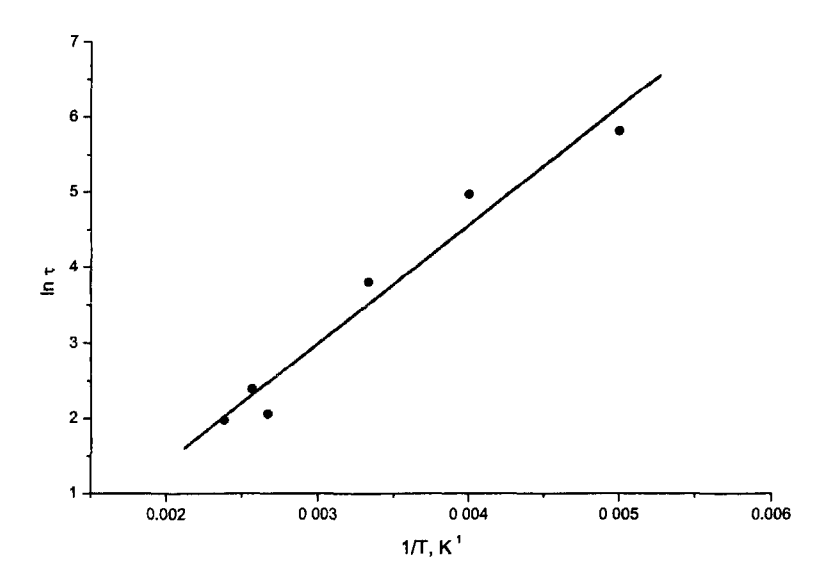


Рис. 9. Зависимость времени жизни –СН₃ группы в положении равновесия от температуры в аррениусовских координатах

В седьмой главе рассмотрена динамика разветвления в кристалле ПЭ Группа -СН3

имеет только одну степень свободы (валентные углы H–C–H внутри группы практически не деформируются даже при довольно высокой температуре) — это повороты вокруг связи С–С, которой она соединена со скелетом макромолекулы. Для изучения такого вращсния модель усовершенствована таким образом, чтобы развствление представлялось не в виде "объединенного атома", а — со всеми атомами водорода в –СП₃ группе в явном виде

Потенциал внутреннего вращения $-\text{CII}_3$ представляет собой три локальных минимума, разделенных потенциальными барьерами высогой $\approx 12,5$ кДж/моль, задавасмой в молекулярно-динамической модели. Поэтому динамика вращения разветвления представляет собой осцилляции вокруг положения равновесия Тепловое движение приводит к тому, что $-\text{CH}_3$ группа совершает повороты вокруг С С связи. Полагая зависимость времени жизци τ в положении равновесия от температуры T.

$$\frac{1}{\tau} = \frac{1}{\tau_0} \cdot \exp\left(-\frac{E_a}{RT}\right),\tag{2}$$

где $\frac{1}{\tau_0}$ — предэкспонент, $R=8,31\frac{\mbox{$ / $ Дж$}}{\mbox{$ моль \cdot K $}}$, можно определить энергию активации E_a поворота вокруг связи С–С, что позволило определить влияние структуры кристалла на вращательную динамику –С H_3 разветвления

На рис. 9 приведена указанная зависимость. Координаты этой зависимости выбраны в соответствии с уравнением (2). Наклоп липейной аштроксимации на рис 9 дает значение энергии активации $E_a=13.5\pm1.5\frac{\text{к/Дж}}{\text{моль}}$ Таким образом показано, что, несмотря на плотную унаковку разветвления в кристалле, влияние кристалла на вращение –СП₃ групны вокруг С–С связи невелико. Это полностью соответствует имеющимся в литературе представлениям.

ВЫВОДЫ. В соответствии со сформулированными в начале реферата задачами выполнено:

- Построен бездефсктный компью герный кристалл полиэтилена при температуре $T=200{
 m K}$, гостоящий из 48 орторомбически упакованных цепей $-({
 m CH_2})_\infty$, макроскопические параметры которого соответствуют экспериментальным данным
- Исследовано поведение такого кристалла при повышении температуры вплоть до $T=450 \, \mathrm{K}\,$ Получены количественные данные по появлению отличных от trans конформаций и 2g1 кинков с ростом температуры кристалла.
- Построена молекулярно-динамическая модель сополимеров этилена и пропилена путем соответствующего введения в бездефектный кристалл полиэтилена разветвлений в виде объединенного атома -СП₃ в широком диапозоне их концентраций (до 40%).
- Проанализированы структурные следствия внесенных при изотермических условиях в исходный образец разветвлений. На глобальном уровне рассчитаны изменения илотности, величин кристаллографических параметров в функции концентрации [-СН₃].
- Показано наличис критической концентрации -СН $_3$ разветвлений, до которого макроскопического разрушения кристаллической структуры не происходит Те кристалл сохраняет трехмерную периодичность, а разветвления дают лишь независимые точечные дефекты В компьютерной модели при $T=200\mathrm{K}$ такая критическая концентрация составляет 10% (т.е. 10 разветвлений на 100 групп -СН $_2$ -) Увеличиваются величины кристаллографических параметров а и b, а при концентрации разветвлений больше критической происходит изотермическая аморфизация кристалла.
- В работе впервые проведен анализ нарушсний структуры орторомбического кристалла полиэтилсна разветвлениями с помощью формализма объемов Вороного
- Исследованы появление избыточного объема в кристалле, геометрия такого объема, сго анизотропия по отношению к оси цепи Геометрически такой избыточный объем представляет собой "трубку пустоты"

- Показано, что одно разветвление возмущает структуру кристалла на протяжении
 ~12 скелетных ятомов вдоль оси цепи. По видимому, кристаллизация такого фрагмента цепи невозможна. В то же время, поперек цепи возмущения невелики и ограничены, в основном, первой координационной сферой вокруг точки ветвления. Во второй-третьей координационных сферах возникают даже более плотные упаковки.
 Это обусловлено цепным строением кристалла.
- Обпаружено, что в кристалле с разветвлениями возможно возникновение локальных упаковок более плотных по сравнению с бездефектным кристаллом
- Исследовано возмущение структуры кристалла, вносимое двумя близко расположенными по цепи разветвлениями.
- Показано, что встраивание разветвления в кристалл полиэтилена не связано с появлением конформационных дефектов в цепях — 2g1 кинков, как это принято было считать в литературе Однако, появление конформационных дефектов происходит, причем как в случае встраивания разветвлений в кристалл, так и при изотермической аморфизации кристалла.
- Исследована внутренняя динамика разветвления -СН₃ в кристалле ПЭ
- Показано, что вращение СН₃ вокруг связи С С обусловлено главным образом внутримолекулярным потенциалом — на 85%.

Список публикаций по теме диссертации.

- 1 Olemik E., Karmilov I., Shenogin S., Kalashnikov A., Mazo M., Balabaev N., Chvalun S. Computer Modeling of Structure and Dynamics of C-50 n-paraffin Crystal, Hexagonal Phase of C-50 Crystal and Ethylene/Propylene Statistical Copolymers // Macromolecular Simposia 1999. V. 146 P. 133-143.
- 2 Кармилов И А , Калашников А Д , Олейник Э Ф Изменение локальной структуры вблизи дефектов типа СН₃-групп в н-парафине С50 // XLII научная конференция МФТИ "Современные проблемы фундаментальных и прикладных наук". Тез докл Долгопрудный, 1999 С. 39.
- 3 Кармилов И.А., Шеногип С.В., Калашников А.Д., Мазо М.А., Балабаев Н.К., Олейник Э Ф Компьютерное моделирование структуры и динамики кристалла н-парафина С-50, гексагональной фазы С-50 и статистических сополимеров этилен/пропилен // Полимеры-2000. Москва. 2000. С. 123-136
- 4 Олейник ЭФ. Кармилов ИЛ, Шеногин СВ, Каланичков АД, Балабаев НК.. Мазо МА, Чволун СН Молекулярно-динамическое моделирование структуры и динамики и парафина С₅₀Н₁₀₂ и статистических сополимеров этилен/пропилен // Высокомолек, соед А. 2000 Т. 42. № 11. С. 1869-1881.
- 5 Кармилов И, Калашников А, Мазо М., Балабаев Н., Олейник Э. Моделирование влияния химических дефсктов на структуру, динамику и макроскопические свойства п-парафина С50 и сополимеров Э/П // Второй Всероссийский Каргинский Симпозиум "Химия и физика полимеров в начале XXI века". Тез. докл. Черноголовка, 2000 С. С2-37.

A

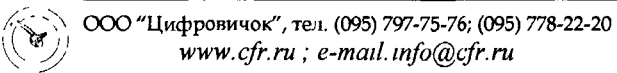
- 6 Олейник Э Ф., Кармилов И Л., Калашников Л Д., Балабаев И К Химические дсфекты внедрения в цепных кристаллах. Молскулярно-динамическое моделирование структуры дефектных областей и подвижности ценей в дефектных кристаллах // XII симпозиум "Современная химическая физика" Тез. докл Туапсс, 2000 С. 13.
- 7 Олейник Э Ф, Кармилов И А., Калашников А.Д Компьютерное моделирование структуры и свойств соолигомеров этилен/процилен // VII Международная конференция

- по химии и физико-химии олигомеров "Олигомеры-2000". Тез докл Пермь, 2000 С. 29.
- 8 Кармилов И.А., Калашников А.Д., Олейник Э.Ф. Особенности структуры химического дефекта в н-парафиновом кристалле // XLIII научная конференция МФТИ "Современные проблемы фундаментальных и прикладных наук". Тез докл. Долгопрудный, 2000 Ч 4, С 31
- 9 Э Ф Олейник, И Л Кармилов, А Д Калашников, Н К. Балабаев Компьютерное моделирование структуры, динамики и свойств сополимсров этилена с α-олефинами // VII паучная конференция Института Химической Физики им II Н Семенова РАП: Тез докл. — Москва, 2001. С. 3 6
- 10 А.Д Калашников, И.А Кармилов, Н.К. Балабаев, Э Ф. Олейник Компьютерное моделирование возмущения структуры кристалла полиэтилена химическими дефектами // XLIV научная конференция МФТИ "Современные проблемы фундаментальных и прикладных наук": Тез докл — Долгопрудный, 2001. Ч 4, С 12
- 11. П.М. Гарапип, А.Д Калашпиков, Н.К. Балабаев, Э.Ф. Олейпик Компьютерное моделирование методом молекулярной динамики кристалла полиэтилена с химическими дефектами. Модель бесконечных цепей // XLVI научная конференция МФТИ "Современные проблемы фундаментальных и прикладных наук". Тез. докл. — Долгопрудный, 2003. Ч. 4, С. 67.
- 12 Калашников А Д., Кармилов И.А., Балабаев Н К., Олейник Э Ф Возмущение структуры кристалла полиэтилена химическими дефектами типа −СН₃ МД-моделирование // Полимеры-2003. Москва. 2003 С 93-102.
- 13 E F Oleinik, N K Balabaev, A.D Kalashnikov Chemical branching defects in polyethylene crystal: computer modeling // International olefin polymerization conference MOSPOL 2004: Abstr. Moscow, 2004. P 169.
- 14 А.Д. Калашников, Н.К. Балабаев, Э.Ф. Олейник Структурные возмущения орторомбического кристалла полиэтилсна с СН₃-разветвлениями в ценях // Высокомолекулярные соединения. Сер. А, 2005. Т. 47, №10. С. 1767–1781

Список цитируемой литературы

- [1] A new force field for molecular mechanical simulation of nucleic acids and proteins / S J Weiner, P A Kollman, D A Case et al // J. Am. Chem. Soc — 1984. — Vol. 106. — Pp. 765—784.
- [2] Baltá-Calleja F J, Vonk C. G. X-Ray Scattering of Synthetic Polymers. Amsterdam-Oxford-NewYork-Tokyo Elsevier, 1989
- [3] Е М Антипов, Е В Попова, Н П Красникова и др // Высокомолек соед 1990 -Т 32, № 7 — С 1482.
- [4] Pechhold W // Kollord Z. Z. Polymer. 1968 Vol 228. P. 1.

Заказ № 2157 Подписано в печать 15.11 2005 Тираж 100 экз. Усл. п л. 0,67



№·-・92

∤▲

1.

.